

# 离子电力拖动装置的调整

冶金安装总公司 编



冶金工业出版社

## 离子电力拖动装置的調整

冶金安装总公司編

編輯：欧阳惠霖 設計：朱駿英 校對：胡瑞华

1959年3月第一版 1959年3月北京第一次印刷 6,300册

开本850×1168 • 1/32 • 50,000字 • 印张 2 • 定价 0.32 元

北京五三五工厂印刷 新华書店發行 統一書号 15062 • 1365

冶金工业出版社出版（地址：北京市灯市口甲45号）

北京市書刊出版业营业許可証出字第 093 号

本書是冶金安装总公司所編的冶金电气設備調整丛书之一。書中敘述了水銀整流器的調整問題、电压控制部分的調整問題和动力控制环节的控制問題。文內并附有某冶金企业的調整經驗。本書可供电力拖动調整人員用。

## 目 录

### 第一章 柵控水銀整流器的調整問題

§ 1.	ШРВ-41型控制柜的簡要說明	(1)
§ 2.	ΦC1-1型靜移相器	(1)
a)	ΦC1-1型靜移相器系統的說明	(1)
b)	ΦC1-1型靜移相器的工作原理	(4)
b)	試驗項目及其方法	(6)
1)	單元試驗	(6)
2)	系統移相試驗	(6)
§ 3.	水銀整流器的定相問題	(9)
a)	柵極的定相	(11)
b)	勵弧極的定相	(14)
§ 4.	水銀整流器并聯工作時所發生的問題	(15)
§ 5.	靜隙式點弧器	(17)
§ 6.	在水銀整流器的維護中所發生的問題	(19)
a)	主陽極頭的預熱問題	(19)
b)	循環水的中斷故障	(20)
§ 7.	水銀整流器的外特性曲線	(20)

### 第二章 电压控制

§ 1.	系統圖簡單說明	(21)
a)	給定磁放大器 УЗН 部份	(21)
b)	綜合磁放大器 УУН 部份	(25)
§ 2.	調整步驟	(30)
a)	給定磁場	(30)
b)	綜合磁場 及安匝確定	(30)
b)	綜合磁場 確定	(32)

§ 3.	調整過程中發現的問題及初步分析	(33)
a)	靜移相器控制繞組的安排	(33)
б)	電動機運行中幾個關鍵性數值的測定	(34)
в)	對綜合磁放大器УУН的要求	(34)
г)	柵極定相	(35)
д)	移相器偏位安匝	(37)
е)	起動	(38)
§ 4.	電壓控制系統討論	(44)
a)	遠行一般情況介紹	(44)
б)	磁放大器工作點討論	(45)
в)	靜特性	(49)
г)	系統改善的方向	(50)
§ 5.	平板控制器ПК I 及 ПК II 的討論	(51)

### 第三章 动力制动环节的调整

§ 1.	磁繼電器特性的基本原理	(54)
§ 2.	动力制动线路的說明及設計要求	(55)
§ 3.	制動系統的調整	(57)

# 第一章 檻控水銀整流器的調整問題

## § 1. ШРВ-41型控制櫃的簡要說明

ШРВ-41型控制櫃是作為 PMHB-1000×6 型單陽極水銀整流器的點弧、勵弧，以及柵極和水銀泵等系統供電之用。

這種控制櫃被滿意地使用在主變壓器帶有平衡電抗器的“雙反星形”系統中。又由於其柵控的移相裝置中採用了ФС1-1型靜移相器，所以調相的範圍較廣；調節速度快，適於自動控制。因此本控制櫃被成功地使用在帶有自動調整的離子拖動系統中。

和其他控制櫃一樣，本控制櫃共分成三個系統，即點勵弧系統、柵控系統以及水銀泵電熱系統。其中點勵弧和電熱兩部分和ШРВ-30—I型控制櫃基本上相同，請參考有關單陽極水銀整流器的書刊資料。

本書只介紹柵控系統中 ФС 1-1 型靜移相器的工作特性及其調整經驗。

## § 2. ФС1-1型靜移相器

### a) ФС1-1型靜移相器系統的說明

1) 圖 1 为 ФС1-1 型靜移相器的柵控原理圖，TC 为三相的橋式變壓器，該變壓器的一次繞組可以接成星形或曲折形。後者可以將相位向前或向後移動 30°，在這種情況下，為了使二次繞組的电压不致有 15% 的升高，特設有分接頭  $a_1x_1$ ,  $b_1y_1$ ,  $c_1z_1$ 。

2) 電阻器 R 和可變電抗器  $\Pi$  分別接于橋式變壓器二次繞組的不同电压臂上，電阻器 R 接在相电压为 300 伏的一臂，而可變電抗器  $\Pi$  接于相电压为 150 伏的那一臂。

3) 橋式變壓器的對角線 10—1 端子間接入對角線變壓器  $T\Pi$  的一次繞組。對角線變壓器的二次繞組接向尖波發生器和補

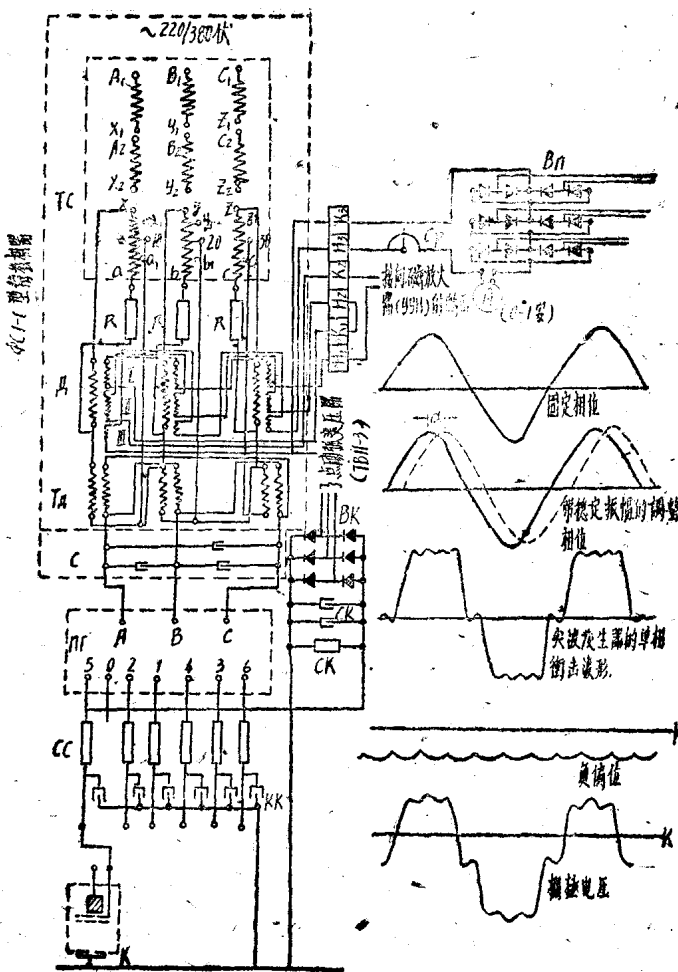


图1 带有ΦC1-1型静移相器的栅控系统

R—电阻 $3 \times (\Pi\varnothing - 150 - 250\text{欧}) \times 750\text{欧}$ ；L—饱和电抗器（T23—27型）：交流绕组—两个线圈—1000匝，带有950匝抽头（ $\Pi\varnothing\varnothing 0.8$ ）；磁化绕组—I—800匝（27欧），II—800匝（30欧），III—400匝（17.5欧）（ $\Pi\varnothing\varnothing 0.8$ ）；DT—对角线变压器（T3—25型），一次绕组：800匝， $\Pi\varnothing\varnothing 0.64$ ；二次绕组：1650匝， $\Pi\varnothing\varnothing 0.64$ ；C—补偿电容器 KBT-MH，4微法士 $\pm 10\%$ ， $U_{\text{рас}}=600$ 伏；TC—栅极桥式变压器（T03—1型，1千伏安）：一次绕组： $3 \times 220/380$ 伏；二次绕组： $u_a - 10 = 300$ 伏， $u_b - 10 = 150$ 伏（三相同）；BII—磁化用硒整流器（BC-45—46，25伏，1.2安）；CP—电磁调整器（PCP—2型，600欧，160瓦）；BK—偏应用氢化铜整流器（BK-103B型）；CR—偏位电阻（ $\Pi\varnothing-75-1000$ 欧）；TF—尖波发生器（T2—2）。

偿电容器 C。对角线变压器的作用是：把自用电的低压系统和整流器的高压系统分开，以便静移相器的各个组成元件可以按低压计算其绝缘。

4) 接于桥变压器二次绕组 x 脉的可变电抗器 A 采用 2T3—27 型饱和电抗器，该电抗器具有三个直流磁化绕组，每个绕组的匝数分别为 800 匝 (I)，800 匝 (II) 及 400 匝 (III)，其交直流绕组的分布示意图如图 2 所示，为了减少漏磁和降低直流的控制功率，交直流绕组皆绕在同一铁心上；又为了交变电流对直流绕组而感应电势，设置了两个铁心，交流绕组绕在每个中铁心上，而直流绕组跨绕在两个中铁心上，然后两铁心上的交流绕组接成串联，这样交变电流对直流绕组的感应可以彼此抵消。

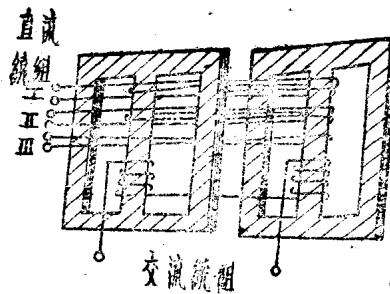


图 2

5) 在某轧钢厂的离子拖动中，直流磁化绕组是如此选定的：即绕组 I、II 串联 (1600 匝) 作为自动调整用 (电压反馈或速度反馈)，绕组 III (400 匝) 为偏位绕组，这个绕组由 SWPB 箱内的晶闸管整流器供电，并借手动调整电阻器 CP 以改变该绕组内的磁化电流，应用这个偏位绕组可以进行阳极头的预热化成，可以适当地减轻磁放大器的输出和整流器并联后的负荷调整。

6) 图 1 中所示的 ПГ2型尖波发生器的容量较小 (270 伏安)，约为应用在 SWPB-20 及 SWPB-21 型控制柜内的 ПГ1型尖波发生器的五分之一。同时补偿电容 C 也减小了。总之这是因为栅极的移

相裝置採用橋式靜移相器的結果。

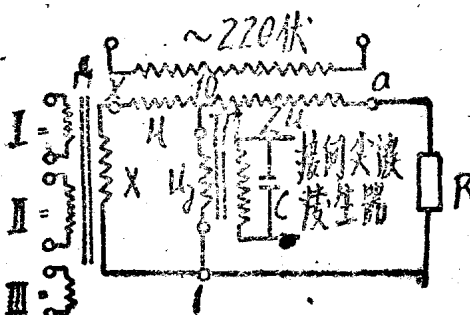


图 3,a

### 6) ФС1—1型靜移相器的工作原理

ФС1—1型靜移相器的工作原理是基于用变化饱和电抗器  $\Delta$  的磁化电流的方法来改变电抗臂电抗  $X$ 。由于电抗的变化，对角线电压  $u_d$  的相位也相应的发生了变化，并且对角线电压  $u_d$  向量的終端轨迹是一个圆周，其幅度值近似的保持恒定。这种情况的获得是由以下两个条件决定的。即：第一：要增加桥变压器二次繞組連接有电阻  $R$  那一臂的电压(本移相器增加一倍)。第二：用电容器  $C$  以补偿桥对角线中的电抗(如图 3, a 所示)。

根据图3,a所示，在对角线的电抗用电容  $C$  补偿的情况下，对角线的負荷可以看作是一个等值电阻  $r_{ek}$ ；又根据上述第一条件，即桥变压器二次繞組中两臂电压的比值为 2，采用 2 的原因是在选择  $R = r_{ek}$  的条件下决定的。选择  $R = r_{ek}$  的理由是考慮到饱和电抗器的尺寸容量为最小的条件下出发的(請参考 Электронные устройства автоматического управления 54—63 頁。或“自动电力拖动释述”杂志 1957 年 6 月号 23—27 頁中譯文“感应电桥式調相器的理論与計算”)。

由于以上所述理由，我們可将图 3,a 簡化成图 3,6。現在我們用简单的計算方法去表明ФС1—1型靜移相器的理想移相特性，

即对角綫电压  $u_\theta$  的理想工作特性。根据图 3, 6 可列出下列方程式：

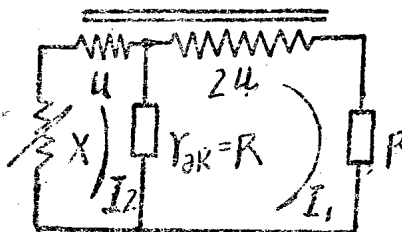


图 3, 6

$$2u - i_1 R = u_\theta \quad (1)$$

$$u + u_\theta = j i_2 X \quad (2)$$

$$u_\theta = (i_1 - i_2) R \quad (3)$$

$$\text{由 (1) } i_1 = \frac{2u - u_\theta}{R} \quad (1')$$

$$\text{由 (2) } i_2 = \frac{u + u_\theta}{jX} \quad (2')$$

$$\text{则: } i_1 = \left( \frac{2u - u_\theta}{R} - \frac{u + u_\theta}{jX} \right) R, \text{ 即 } \frac{u_\theta}{R} - \frac{2u - u_\theta}{R} = -\frac{u + u_\theta}{jX}$$

$$j2u_\theta X - j2u X = -uR - u_\theta R, \quad u (R - j2X) = -u_\theta (R + j2X)$$

$$\therefore u_\theta = -u \left( \frac{R - j2X}{R + j2X} \right) = -ue^{-j\theta} \quad (4)$$

式中  $\theta = 2\tan^{-1} \frac{2X}{R}$

由 (4) 式得知：当电抗  $X$  变化时，对角綫电压  $u_\theta$  的終端軌跡是一个圆周，而其幅度值等于恒定的电压  $u$ 。根据这一点我们可以画出对角綫电压  $u_\theta$  的工作圓圖，如图 4 所示。图中的 1 点表示当电抗  $X$  为最大时（无磁化电流时） $u_\theta$  的終端軌跡，而 1' 点表示当电抗  $X$  为最小时（磁化电流为最大时） $u_\theta$  的終端軌跡，相角  $\theta$  为对角綫电压  $u_\theta$  的移相范围。

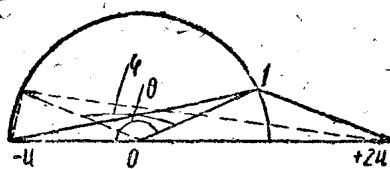


图 4

### B) 試驗項目及其方法

#### 1) 単元試驗

- ① 各組成元件的电阻及絕緣电阻測定；
- ② 桥式變壓器及對角線變壓器的變比測定；
- ③ 饱和電抗器試驗：
  - (i) 測直流磁化線圈的極性；
  - (ii) 測直流磁化線圈的匝比（用交流低壓測）。

#### 2) 系統移相試驗

##### ① 試驗目的及方法

本試驗的目的是要得知靜移相器在各種（即柵極點燃，不點燃和帶化成負荷時）情況下的移相範圍，即在各種情況下求出飽和電抗器磁化電流和對角線電壓相位的變化關係。

觀察對角線電壓相位變化的方法，基本上可以採用兩種方法，即視波器法和功率因數表法。如果只看最大的移位，電壓表法亦可使用。這裡只把功率因數表法介紹如下：

圖 5 表示功率因數表連接在單相上的情形，在試驗前應當檢查三相系統繞路接線是否正確。各部的參數應當正常。

取電流  $I_A$  代表電壓  $u_{ax}$  的相位。並用  $R_1$  調整電流使  $I = 1 \sim 5$  安。又在尖波發生器一次取電壓  $u_{ax}$  代表橋對角線電壓的相位，並用  $R_2$  調整電壓以滿足功率因數表端子上的規定值，又為了減少在試驗時所造成的測量誤差，測  $u_o$  電壓值時最好使用內阻較

大的电压表。除此之外，在試驗之前应当检查桥式变压器和对角綫变压器的极性，然后在接綫时应使电压端子及电流端子的极性相符。

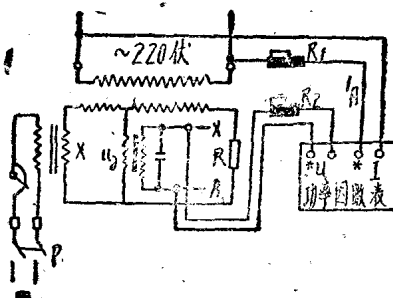


图 5

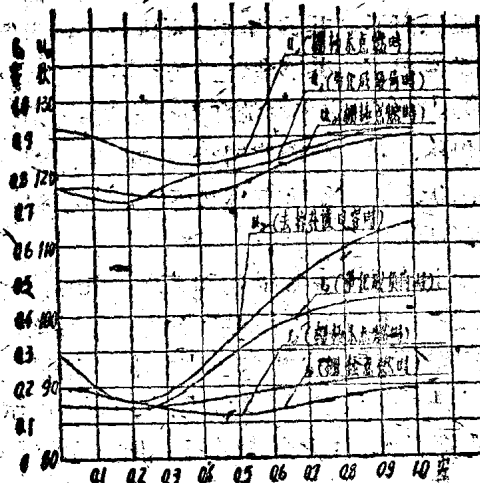
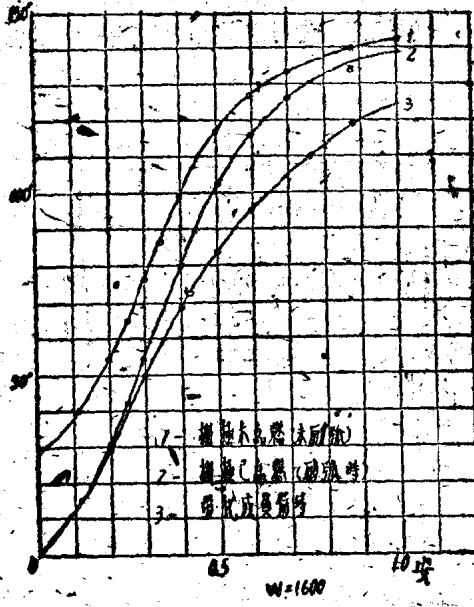
## ② 試驗特性

試驗結果表明：

(i) 靜移相器的移相能力是与柵极所处的工作状态有关，即柵极在未点燃时（未点励弧），其移相范围为 $115^\circ$ ；当柵极点燃时（点励弧时），其移相范围为 $138.5^\circ$ ；当柵极处在整流器大电流化成的情况下，其移相范围为 $123.5^\circ$ 。图6表示当直流磁化繞組匝数为1600时磁化电流和对角綫电压相位的变化关系。这个特性告訴我們：当确定柵极与主阳极間相位时，应考慮到柵极所处的状态，即柵压点燃和不点燃时在初始相位上是不相同的，如图6所示。

(ii) 实际上，对角綫电压  $u_d$  和其电流在  $I_d$  在数值不是一个恒定值，而是随磁化电流的变化而变化的。同时这种变化以在化成状态下为最剧烈（去掉补偿电容器时除外），柵极点燃时次之，波动比較緩慢的是在柵极未点燃的时候（如图7所示）。

又根据試驗时的測量，在柵极未点燃时，电流  $I_d$  落后于电压  $u_d$   $70^\circ$ ；当柵极点燃时，电流落后于电压变成  $25.5^\circ$ 。又在饱和电抗器的磁化电流为零的条件下，对角綫电压的初始相位当柵极



未点燃时为  $48^\circ$ ；当栅极点燃时为  $20^\circ$ 。

其次根据栅极处在各种状态下的試驗数据（如表 1），繪制了对角線电压  $u_3$  的工作圓圖如图 8 所示；这个圓圖和我們前面所計算的理想工作圓圖比較，有两个不同的地方，即：（1）圓圖的圓心从原点向下移动了，其原因是由于桥对角線的功率因数不等于 1 的緣故；（2）对角線电压  $u_3$  的幅度值較理想圓圖的电压幅度值降低了，这个原因我們認為是受饱和电抗器中的有效电阻  $R_x$  和对角線中等效电阻  $r_m$  的影响所致。在前面的計算里  $R_x$  被忽略了， $r_m = R$ ，但在实际的设备中  $R_x$  并不为零，而  $r_m$  亦不完全等于  $R$ ，因此造成了电压  $u_3$  幅度值的降低。

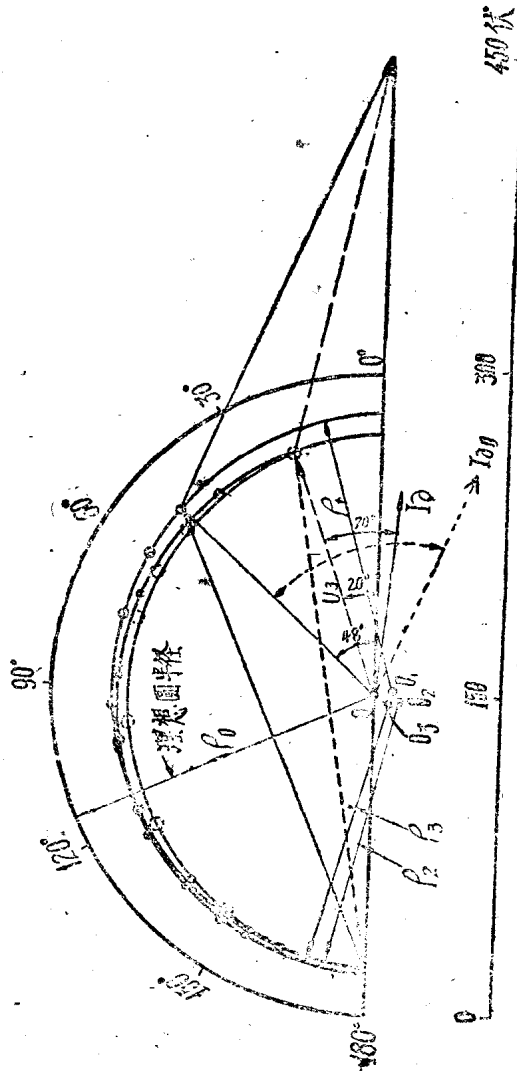
除此之外，从图 8 中又可看出：栅极点燃和不点燃影响到对角線电压初始角的变化，即对角線电压  $u_3$  在栅极点燃后其初始角向后移动了  $28^\circ$ ，造成这种移动的根本原因，我們初步認為是当栅极点然后，因栅极带有阻性电流而使对角線电流  $I_3$  的相位向前移动的結果。

从图 8 中尚可看出：在不同状态下的工作圓圖中，由于圓心向下移动的結果，所以随着对角線电压的相位变化，对角線电压的幅度值也在变化，这是很明显的，以上的試驗数据是当电源电压接近額定值时获得的。

注：如果电源电压低于或高于額定电压，靜移相器在不同磁化安匝的情况下，其对角線电压相位的移动范围是不同的，一般是电源电压高时移动范围小，电源电压低时移动范围大。因此在栅极定相时，应注意这种特性，特别是在将桥变压器一次繞組向前和向后倒換  $30^\circ$  时，二次繞組的端子必須适应的倒換否则对角線电压相位的移动范围就縮小了，关于靜移相桥对角線电压的相位随自用电源电压变化的关系如图 9 所示（本試驗特性是从设备資料抄录的；由于现场試驗设备的限制，未作此項試驗）。

### § 3. 水銀整流器的定相問題

在离子拖动中，水銀整流器的定相决定于电机的起动条件和电机在栅控中的运转状态。



$r_0$ —理想静止磁极对角线电压的半径,  $O_0$ —理想静止相距对角线电压的圆心,  $r_1$ —一极未点然时对角线电压的半径,  $O_1$ —一极未点然时对角线电压的圆心,  $r_2$ —一极点然时对角线电压的半径,  $O_2$ —一极点然时对角线电压的圆心,  $r_3$ —一极化成负荷时对角线电压的半径,  $O_3$ —一极点然时对角线电压的圆心,  $I_{d0}$ —一极未点然时对角线电流的初始相位,  $u_d$ —一极点然时对角线电压的初始相位,  $I_d$ —一极点然时对角线电流的初始相位。

## ① 楞极点燃时(励磁时)

$I_{nom}$ (安)	0	0.115	0.2	0.3	0.4	0.5	0.6	0.7	0.88	1.0
$\varphi^*$ (度)	0	15	31.5	54	79	102	116	126	134	138.5
$\theta$ (度)	20	35	51.5	74	99	122	136	146	154	158.5
$u_d$ (伏)	113	118	117	117	117.2	118	121	122	124.4	125
$I_d$ (安)	0.15	0.142	0.14	0.145	0.156	0.171	0.19	0.2	0.215	0.23

## ② 楷极未点燃(未励磁时)

$I_{nom}$ (安)	0	0.115	0.2	0.3	0.4	0.5	0.6	0.7	0.88	1.0
$\varphi^*$ (度)	28	40	54	76	99	107	127	133	139.5	143
$\theta$ (度)	48	60	74	96	119	137	147	153	159.5	162
$u_d$ (伏)	126	125	123	122	121	122	123	125	125	125
$I_d$ (安)	0.193	0.175	0.16	0.14	0.126	0.115	0.13	0.15	0.175	0.19

## ③ 楷极当带化成负荷时

$I_{nom}$ (安)	0	0.115	0.2	0.3	0.4	0.5	0.6	0.7	0.88	1.0
$\varphi^*$ (度)	0	14	20	50	68.5	83	95	104	118.5	123.5
$\theta$ (度)	20	33	49	69	87.5	102	114	123	137.5	152.5
$u_d$ (伏)	118	116	116	118	120	120	121.4	123	124.5	126
$I_d$ (安)	0.15	0.14	0.14	0.13	0.225	0.3	0.36	0.41	0.44	0.47

## ④ 将补偿电容 C 去掉时

$I_{nom}$ (安)	0	0.1	0.2	0.3	0.4	0.5	0.6	0.7	0.8	0.9	1.0
$u_d$ (伏)	94	90	88	89	93	98	102.5	103	109.5	111.5	113

$I_{nom}$ — 铁和电抗器的磁化电流;  $\varphi^*$ — 对角线电压  $u_d$  的移相范围角;  $\theta$ — 对角线电压  $u_d$  的相位角(距横座标零轴)

## a) 楷极的定相

楷极对主阳极间相位的决定是取决于电机的起动条件, 某轧钢厂轧钢电动机的起动是用电压从零逐渐升高的办法以完成起动的。因此它的定相要求楷控角  $\alpha$  应不小于  $90^\circ$ , 以满足电机在接入水银整流器的整流回路时其入口电压为零。

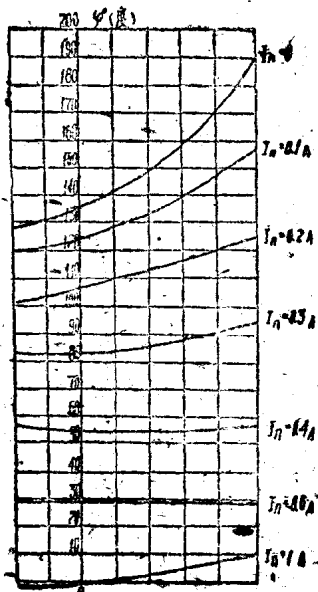


图 9 ΦC1—Ⅰ型静移相器的調  
整角与自用电电压变化的关系

当栅极在深调的状态下，为了使水银整流器的空载电压不致过高，调整角(栅控角)  $\alpha$  定  $120^\circ$  为最合适。又为了减少自动调节系统(磁放大器部分)的功率输出，在空载电压不高的情况下，尽量加大偏位绕组的磁化电流，使  $\alpha$  角向前移动一定角度。但必须注意：偏位绕组的磁化电流的增加不应超出电机的可靠停机条件(请参考第二章电压控制部分)。

定相的具体作法是：首先使静移相器的直流磁化电流等于零，然后在栅极点燃的情况下，定栅极的相位落后于该整流管的主阳极相位  $120^\circ$ 。如果在栅极未点燃的情况下定相，事前应考虑到当栅极点燃后其相位应当产生的变化。在定相时为了检查各个主阳极对各个栅极管的相位，以用电压表测量各个端子的电压为最方便，某轧钢厂水银整流器的主变压器的二次电压为 780 伏，因此建议用测程为 2000 伏的交流电压表直接测量比较合适。又因为一般的相序表为低压的，不能用在这样高的电压系统，因此建议最好在化成时测定相序，或用与主变压器同步的低压电源接于主变压